

УДК 641.48:541.128

ПОЧВОВЕДЕНИЕ

И. С. СТЕПАНОВ

ИНФРАКРАСНЫЕ СПЕКТРЫ ТОНКОДИСПЕРСНЫХ ФРАКЦИЙ ПОЧВ

(Представлено академиком И. П. Герасимовым 23 VI 1969)

В последние годы использованию метода и.-к. спектроскопии в почвоведении уделено значительное внимание (1-8). При помощи этого метода показано, что в гумусе почв присутствуют функциональные группы C=O, C=C, C—N, N—H, C—H, O—H и др. (1-3, 8), а глинистые минералы, выделенные из почв, содержат атомные группы Si—O, Si—O—Si,



Рис. 1. Дифрактограмма фракции 0,5–1,0 μ . а — воздушно-сухой образец, б — насыщенный этиленгликолем, в — прогретый до 500°

Рис. 2. Дифференциальный термический анализ фракции 0,5–1,0 μ . А — кривые ДТА, Б — кривые потери веса. а — исходный образец, б — обработанный H_2O_2

Si—O—Me^{VI}, Si—O—Me^{IV}, H—O—H, O—H..., Al—O—H...O и др. (4, 5, 7, 9, 10). Благодаря этим работам, а также имеющимся в литературе сводкам по и.-к. спектроскопии (11-18), стало возможным применить этот метод к изучению тонкодисперсных фракций почв.

В настоящем сообщении приведены результаты изучения и.-к. спектров фракций 5–1; 1–0,5; 0,5–0,25; 0,25–0,10 и мельче 0,10 μ . Фракции выделены из горизонта А темноцветной слитой троцической почвы (разрез № 267, Куба) путем растирания в виде тестообразной массы с последующим фильтрованием водной суспензии через ультрафильтры под вакуумом. Характеристика условий формирования и некоторых свойств этой почвы опубликованы (19, 20). Выделенные фракции почвы имеют значительное содержание гумуса, высокую емкость поглощения и характеризуются преобладанием монтмориллонита, как это видно из приведенных ниже результатов валового анализа фракции 0,5–1,0 μ (% на абс. сух.

навеску; см. также рис. 1 и 2):

C	H	N	SiO ₂	Fe ₂ O ₃	Al ₂ O ₃	CaO	MgO	Емкость поглощ., мг-ЭНВ.
3,40	2,10	0,20	54,15	10,20	24,95	0,85	2,48	72,3

И.-к. спектры фракций во многом схожи между собой (рис. 3). На всех есть полосы поглощения групп Si—O (535 и 1045 см⁻¹), Si—O—Me^{VI} (475 см⁻¹), C—H и CH₂ алифатической структуры (1410 и 2800–3000 см⁻¹), H—O—H (1640 и 3400 см⁻¹) и O—H (3600–3700 см⁻¹). Поми-

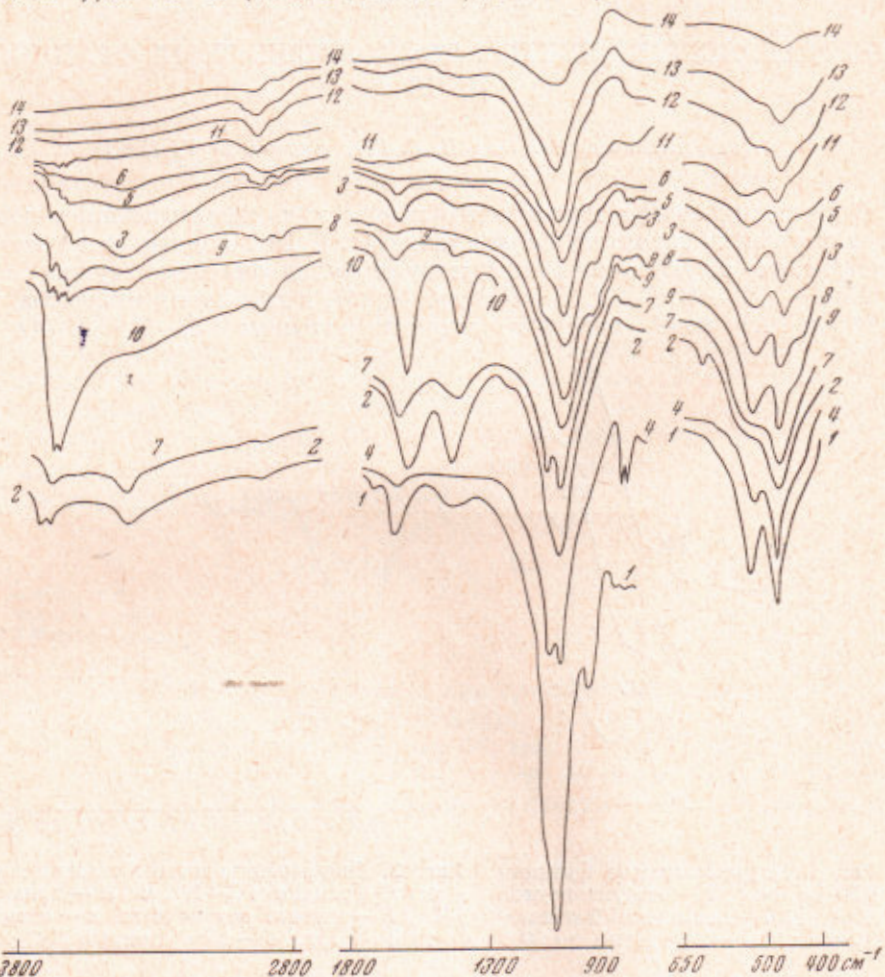


Рис. 3. И.-к. спектры. 1 — фракция $< 0,1 \mu$, 2 — $< 0,25 \mu$, 3 — $0,5-1,0 \mu$ (0,70 мг на 200 мг KBr), 4 — $1-5 \mu$, 5 — $0,5-1 \mu$ (0,45 мг на 200 мг KBr), 6 — то же (0,20 мг на 200 мг KBr), 7 — фракция $< 0,25 \mu$, обработанная H₂O₂, 8 — негидролизуемый остаток фракции 0,5—1 μ , 9 — фракция 0,5—1 μ , обработанная по Джексону, 10 — то же, по снято в виде пленки, 11—14 — фракция 0,5—1,0 μ , прогретая при температуре: 180° (11), 480° (12), 580° (13), 850° (14)

мо этого, на спектре фракции 1—5 μ виден сильный дублет полос Si—O—Si кварца (795 и 805 см⁻¹) и полоса Si—O (1100 см⁻¹), а на спектре ультраколлоидов четко выражены полосы поглощения Al—O—H...O в октаэдре минералов (925 см⁻¹) и C=O в карбоксиле α -галогензамещенных кислот (1740 см⁻¹).

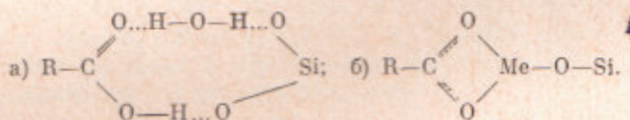
На характере и.-к. спектра отражается не только степень дисперсности частиц, но и способ их выделения, концентрация в прессуемой с KBr таблетке, обработка различными реагентами, прогревание и т. д.

Так, на спектре коллоидов, выделенных путем отмучивания в водной суспензии и, в связи с этим, относительно обогащенных гумусом, ясно видны полосы поглощения групп COO^- (дублет 1610 и 1440—1460 cm^{-1}) и $\text{Si}-\text{C}$ (?) (630—635 cm^{-1}) (12). По мере увеличения концентрации фракций полосы поглощения проявляются, как правило, четче. Дублет кварца и серия полос групп $\text{N}-\text{H}, \text{N}$ амидов и $\text{O}-\text{H}, \text{N}$ в монтмориллоните в области 3100—3300 cm^{-1} обнаруживаются лишь при относительно высоких (более 1%) концентрациях. На спектре коллоидов, обработанных H_2O_2 , исчезает пик 630—635 cm^{-1} , уступ 1110—1120 cm^{-1} преобразуется в пик, пик 1610 cm^{-1} ослабляется и сдвигается к 1655 cm^{-1} , а полоса 3400 cm^{-1} смещается к 3500 cm^{-1} .

Спектр негидролизуемого остатка фракции 0,5—1 μ , обработанной 0,1 N $\text{NaOH} + 0,1 M \text{Na}_2\text{P}_2\text{O}_7$, отличается от исходного исчезновением полос поглощения групп CH и CH_2 при 1400—1500 cm^{-1} . После обработки этого образца реактивом Джексона с последующим диализом появляется четкий дублет полос 1410 и 1600 cm^{-1} , что можно объяснить разрывом связей групп COO^- карбоновых кислот с аморфными соединениями R_2O_3 . При этом обнаруживается серия пиков в области 3400—3800 cm^{-1} , что связано с появлением свободных групп $\text{O}-\text{H}$ монтмориллонита и каолинита.

Спектры прогретых при разных температурах (180; 480; 580 и 850°, время нагревания 5 мин.) образцов показали достаточно ясную согласованность с данными дифференциального термического анализа. В начальный период нагревания наблюдается резкое снижение интенсивности полос поглощения деформационных и валентных колебаний молекул H_2O (1600—1700 и 3400—3500 cm^{-1}). При дальнейшем увеличении температуры пик 535 cm^{-1} преобразуется в ступеньку и затем исчезает, а полосы 1400—1500; 1600—1700 и 3300—3700 cm^{-1} становятся едва заметными. При 850° эти полосы исчезают, и остаются пики при 2860 и 2930 cm^{-1} ; основной пик поглощения $\text{Si}-\text{O}$ расширяется до 1090 cm^{-1} . Указанные изменения в спектре можно объяснить удалением групп $\text{O}-\text{H}$ минералов и органического вещества, сгоранием большей части гумуса (за исключением высококонденсированных соединений) и преобразованием структуры глинистых минералов.

Выполненные исследования позволяют наметить возможные формы связи органических соединений с глинистыми минералами. Наиболее вероятными из них могут быть: а) H -связь, как с участием молекул воды, так и без них (10); б) связь через аморфные соединения R_2O_3 . Схематически эти связи можно представить так:



Судя по полученным данным, качественный состав исследованных фракций однотипен. В них обнаружены монтмориллонит, каолинит, кварц, минералы R_2O_3 , карбоновые кислоты, амиды и высокомолекулярные алифатические вещества, а также органо-минеральные соединения с указанными типами связей. Эти соединения состоят, по-видимому, главным образом из монтмориллонита, аморфных R_2O_3 и карбоновых кислот. По мере повышения степени дисперсности фракций в них наблюдается увеличение относительного содержания монтмориллонита, аморфной фазы (в том числе и гумусовых веществ) и органо-минеральных соединений.

ЦИТИРОВАННАЯ ЛИТЕРАТУРА

- ¹ В. И. Касаточкин, О. И. Зильбербрандт, Почвоведение, № 5 (1956).
² М. М. Кононова, Докл. VI Международн. конгр. почвоведов, 1956. ³ Д. С. Орлов, О. Н. Розанова, С. Г. Матюхина, Почвоведение, № 1 (1962). ⁴ А. И. Болдырев, Е. К. Михеев, Тез. III съезду почвоведов в Тарту, 1966. ⁵ Н. В. van der Marel, Zs. Pflanzenernährung, Düngung, Bodenkunde, 114, Н. 3, 161 (1966).
⁶ L. N. Alexandrova et al., Trans. IX Intern. Congress of Soil Science, Adelaide, 3, 1968, р. 143. ⁷ A. R. Swooboda, G. W. Kipnize, Soil Science Proc., 32, 6 (1968).
⁸ А. И. Болдырев и др., Почвоведение, № 4 (1969). ⁹ М. В. Ахманова, Усп. хим., 28, в. 3 (1959). ¹⁰ M. Seggatosa, Am. Mineral., 53, 7—8 (1968). ¹¹ Л. Беллами, Инфракрасные спектры сложных молекул, ИЛ, 1963. ¹² Н. Н. Чумаевский, Усп. хим., 32, в. 9 (1963). ¹³ Г. В. Юхневич, Усп. хим., 32, в. 11 (1963).
¹⁴ И. Н. Плакши, В. И. Солнышкин, Инфракрасная спектроскопия поверхностных слоев реагентов на минералах, «Наука», 1966. ¹⁵ И. И. Плюснина, Инфракрасные спектры силикатов, МГУ, 1967. ¹⁶ А. Н. Лазарев, Колебательные спектры и строение силикатов, «Наука», 1968. ¹⁷ V. C. Farmer, Clay Minerals, 7, 4, 373 (1968).
¹⁸ Л. Литтл, Инфракрасные спектры адсорбированных молекул, М., 1969. ¹⁹ И. С. Степанов, Э. С. Воробьева, Л. С. Уварова, ДПН, 176, № 2 (1967). ²⁰ Б. П. Градусов, И. С. Степанов, Почвоведение, № 3 (1969).